

Eingabe: Farbmimetrisches Reflexions-System MRS18a

für Buntton  $h^* = lab^*h = 31/360 = 0.086$

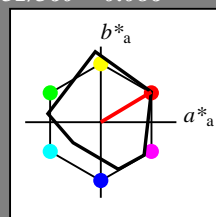
$lab^*tch$  und  $lab^*nch$

D65: Buntton R

LCH\*Ma: 50 78 31

rgb\*Ma: 1.0 0.0 0.0

Dreiecks-Helligkeit  $t^*$



MRS18a; adaptierte CIELAB-Daten

	$L^*=L_a^*$	$a_a^*$	$b_a^*$	$C_{ab,a}^*$	$h_{ab,a}^*$
RMa	49.63	66.8	40.02	77.87	31
JMa	90.7	-7.27	93.19	93.48	94
GMa	52.11	-69.93	11.26	70.85	171
G50B <sub>Ma</sub>	45.03	-36.65	-27.13	45.61	217
B <sub>Ma</sub>	36.65	23.26	-62.27	66.49	290
B50R <sub>Ma</sub>	34.94	57.27	-43.6	71.99	323
N <sub>Ma</sub>	18.01	0.0	0.0	0.0	0
W <sub>Ma</sub>	95.41	0.0	0.0	0.0	0
RCIE	39.92	58.67	27.97	64.99	25
JCIE	81.26	-2.91	71.56	71.62	92
GCIE	52.23	-42.47	13.58	44.6	162
BCIE	30.57	1.33	-46.48	46.51	272

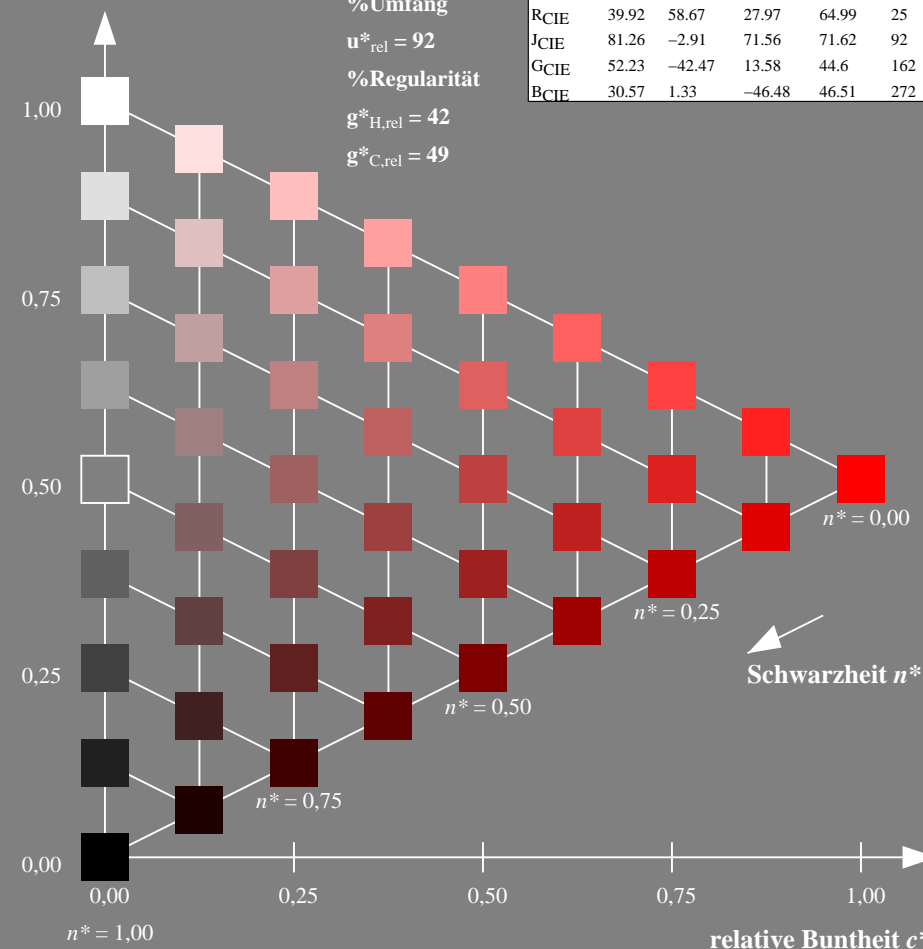
%Umfang

$u_{rel}^* = 92$

%Regularität

$g_{H,rel}^* = 42$

$g_{C,rel}^* = 49$



TG760-7, 9stufige Reihen für konstanten CIELAB Buntton 31/360 = 0.086 (links)

BAM-Prüfvorlage TG76; Farbmimetrik-Systeme MRS18a & ORS18

D65: 9 und 16stufige Farbreihen für 10 Bunttöne

Ausgabe: Farbmimetrisches Reflexions-System ORS18

für Buntton  $h^* = lab^*h = 38/360 = 0.105$

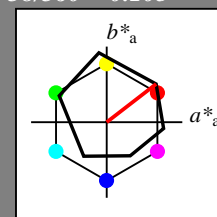
$lab^*tch$  und  $lab^*nch$

D65: Buntton O

LCH\*Ma: 48 83 38

rgb\*Ma: 1.0 0.0 0.0

Dreiecks-Helligkeit  $t^*$



ORS18; adaptierte CIELAB-Daten

	$L^*=L_a^*$	$a_a^*$	$b_a^*$	$C_{ab,a}^*$	$h_{ab,a}^*$
OMa	47.94	65.37	50.52	82.62	38
YMa	90.37	-10.27	91.77	92.34	96
LMa	50.9	-62.79	34.95	71.87	151
CMa	58.62	-30.35	-45.01	54.3	236
VMa	25.71	31.11	-44.42	54.24	305
MMa	48.13	75.27	-8.35	75.73	354
N <sub>Ma</sub>	18.01	0.0	0.0	0.0	0
W <sub>Ma</sub>	95.41	0.0	0.0	0.0	0
RCIE	39.92	58.66	26.98	64.56	25
JCIE	81.26	-2.17	67.76	67.79	92
GCIE	52.23	-42.26	11.75	43.87	164
BCIE	30.57	1.15	-46.84	46.87	271

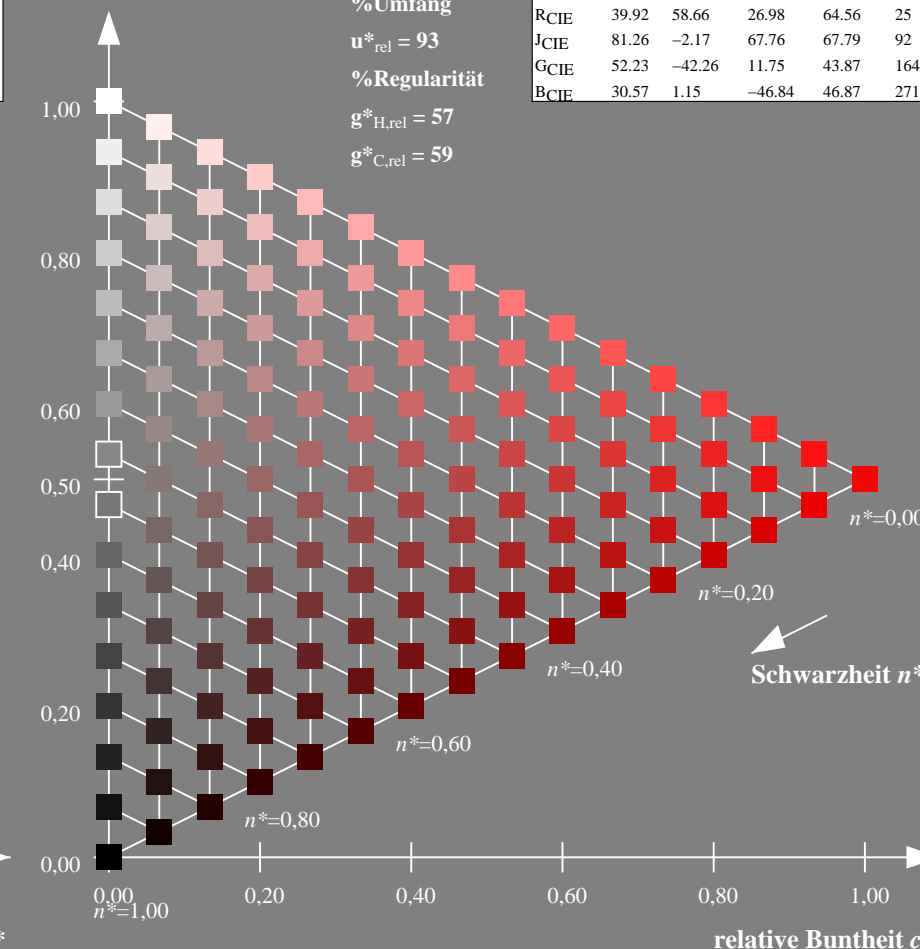
%Umfang

$u_{rel}^* = 93$

%Regularität

$g_{H,rel}^* = 57$

$g_{C,rel}^* = 59$



16stufige Reihen für konstanten CIELAB Buntton 38/360 = 0.105 (rechts)

Input:  $olv^* setrgbcolor$

output: no change compared to input

Eingabe: Farbmetrisches Reflexions-System MRS18a

für Buntton  $h^* = lab^*h = 94/360 = 0.262$

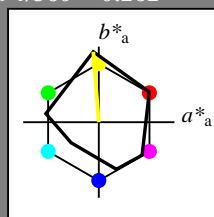
$lab^*tch$  und  $lab^*nch$

D65: Buntton J

LCH\*Ma: 91 93 94

rgb\*Ma: 1.0 1.0 0.0

Dreiecks-Helligkeit  $t^*$



MRS18a; adaptierte CIELAB-Daten

	$L^*=L_a^*$	$a_a^*$	$b_a^*$	$C_{ab,a}^*$	$h_{ab,a}^*$
RMa	49.63	66.8	40.02	77.87	31
JMa	90.7	-7.27	93.19	93.48	94
GMa	52.11	-69.93	11.26	70.85	171
G50B <sub>Ma</sub>	45.03	-36.65	-27.13	45.61	217
B <sub>Ma</sub>	36.65	23.26	-62.27	66.49	290
B50R <sub>Ma</sub>	34.94	57.27	-43.6	71.99	323
N <sub>Ma</sub>	18.01	0.0	0.0	0.0	0
W <sub>Ma</sub>	95.41	0.0	0.0	0.0	0
RCIE	39.92	58.67	27.97	64.99	25
JCIE	81.26	-2.91	71.56	71.62	92
GCIE	52.23	-42.47	13.58	44.6	162
BCIE	30.57	1.33	-46.48	46.51	272

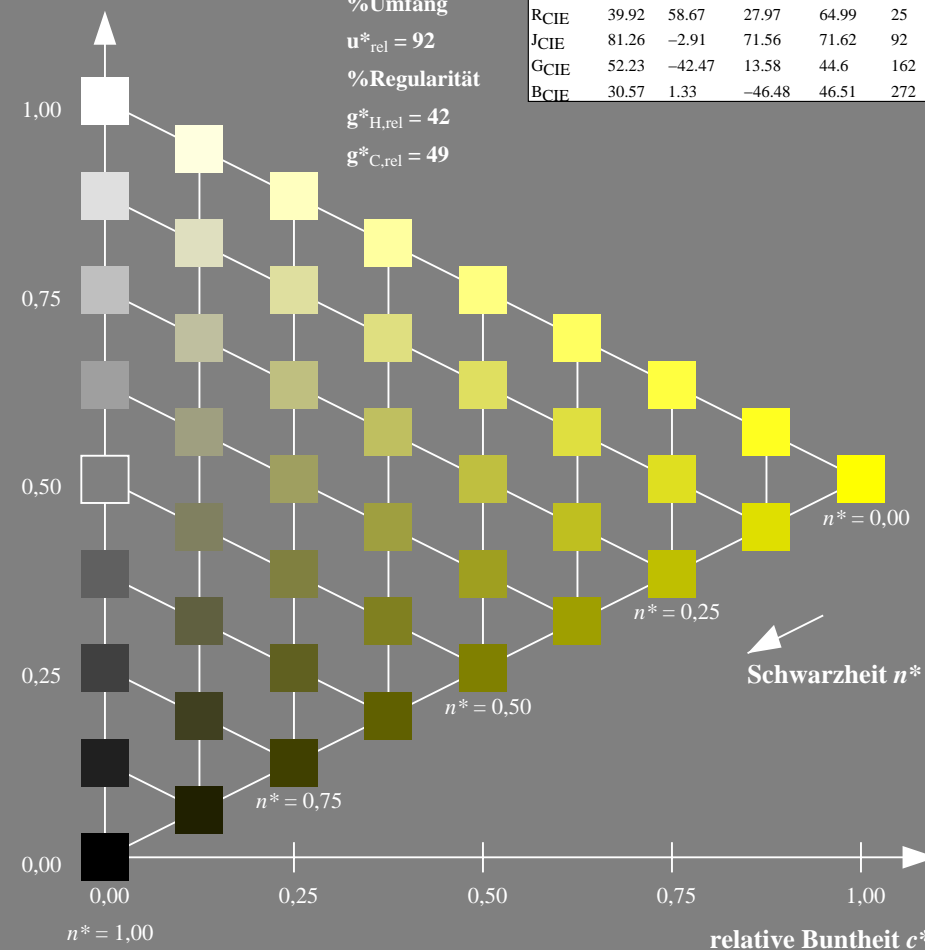
%Umfang

$u_{rel}^* = 92$

%Regularität

$g_{H,rel}^* = 42$

$g_{C,rel}^* = 49$



Schwarzheit  $n^*$

TG760-7, 9stufige Reihen für konstanten CIELAB Buntton  $94/360 = 0.262$  (links)

BAM-Prüfvorlage TG76; Farbmetrik-Systeme MRS18a & ORS18

D65: 9 und 16stufige Farbreihen für 10 Bunttöne

Ausgabe: Farbmetrisches Reflexions-System ORS18

für Buntton  $h^* = lab^*h = 96/360 = 0.268$

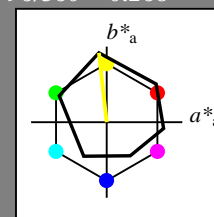
$lab^*tch$  und  $lab^*nch$

D65: Buntton Y

LCH\*Ma: 90 92 96

rgb\*Ma: 1.0 1.0 0.0

Dreiecks-Helligkeit  $t^*$



ORS18; adaptierte CIELAB-Daten

	$L^*=L_a^*$	$a_a^*$	$b_a^*$	$C_{ab,a}^*$	$h_{ab,a}^*$
OMa	47.94	65.37	50.52	82.62	38
YMa	90.37	-10.27	91.77	92.34	96
LMa	50.9	-62.79	34.95	71.87	151
CMa	58.62	-30.35	-45.01	54.3	236
VMa	25.71	31.11	-44.42	54.24	305
MMa	48.13	75.27	-8.35	75.73	354
N <sub>Ma</sub>	18.01	0.0	0.0	0.0	0
W <sub>Ma</sub>	95.41	0.0	0.0	0.0	0
RCIE	39.92	58.66	26.98	64.56	25
JCIE	81.26	-2.17	67.76	67.79	92
GCIE	52.23	-42.26	11.75	43.87	164
BCIE	30.57	1.15	-46.84	46.87	271

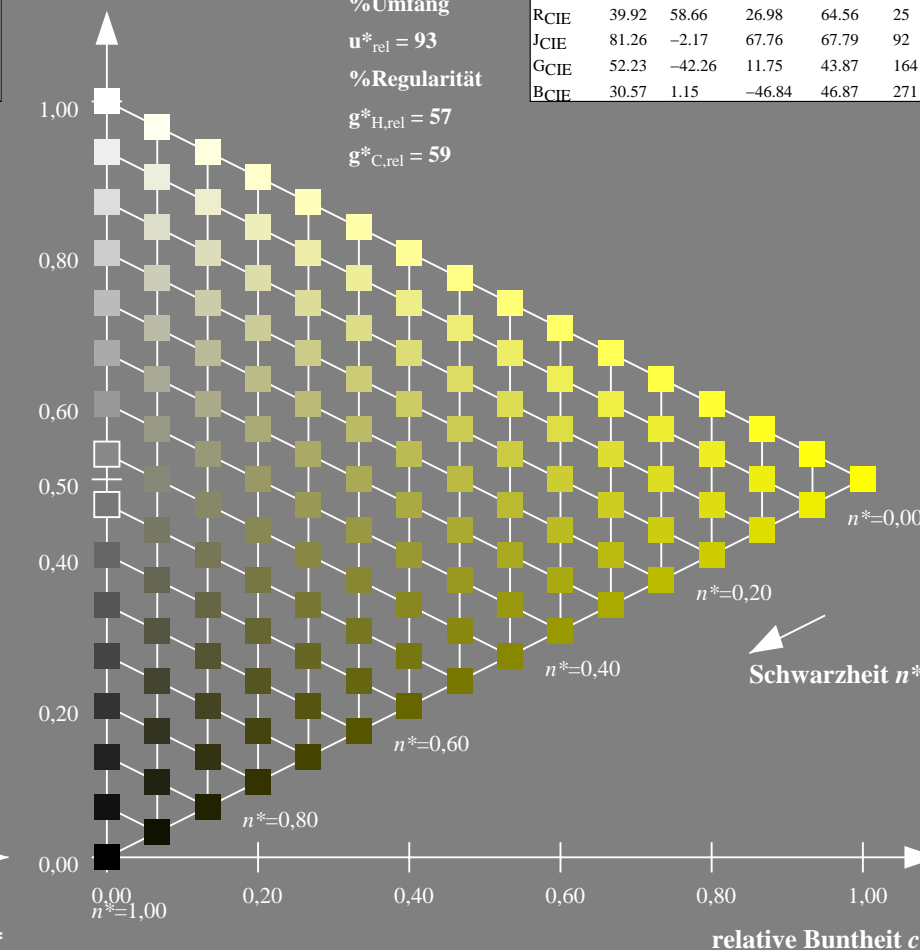
%Umfang

$u_{rel}^* = 93$

%Regularität

$g_{H,rel}^* = 57$

$g_{C,rel}^* = 59$



Schwarzheit  $n^*$

16stufige Reihen für konstanten CIELAB Buntton  $96/360 = 0.268$  (rechts)

Input:  $olv^* setrgbcolor$

output: no change compared to input

Eingabe: Farbmimetrisches Reflexions-System MRS18a

für Buntton  $h^* = lab^*h = 171/360 = 0.475$

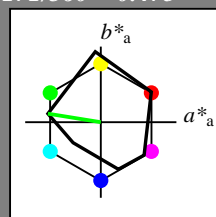
$lab^*tch$  und  $lab^*nch$

D65: Buntton G

LCH\*Ma: 52 71 171

rgb\*Ma: 0.0 1.0 0.0

Dreiecks-Helligkeit  $t^*$



MRS18a; adaptierte CIELAB-Daten					
	$L^*=L_a^*$	$a_a^*$	$b_a^*$	$C_{ab,a}^*$	$h_{ab,a}^*$
RMa	49.63	66.8	40.02	77.87	31
JMa	90.7	-7.27	93.19	93.48	94
GMa	52.11	-69.93	11.26	70.85	171
G50B <sub>Ma</sub>	45.03	-36.65	-27.13	45.61	217
B <sub>Ma</sub>	36.65	23.26	-62.27	66.49	290
B50R <sub>Ma</sub>	34.94	57.27	-43.6	71.99	323
N <sub>Ma</sub>	18.01	0.0	0.0	0.0	0
W <sub>Ma</sub>	95.41	0.0	0.0	0.0	0
RCIE	39.92	58.67	27.97	64.99	25
JCIE	81.26	-2.91	71.56	71.62	92
GCIE	52.23	-42.47	13.58	44.6	162
BCIE	30.57	1.33	-46.48	46.51	272

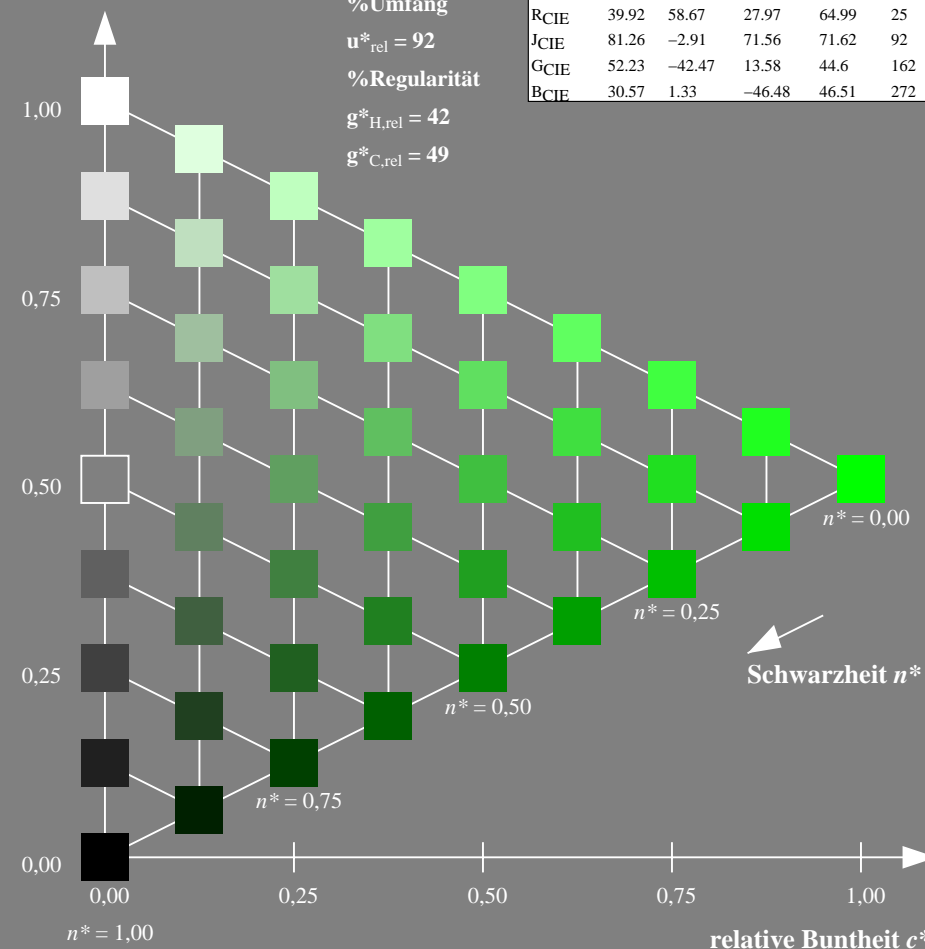
%Umfang

$u_{rel}^* = 92$

%Regularität

$g_{H,rel}^* = 42$

$g_{C,rel}^* = 49$



TG760-7, 9stufige Reihen für konstanten CIELAB Buntton 171/360 = 0.475 (links)

BAM-Prüfvorlage TG76; Farbmimetrische Systeme MRS18a & ORS18

D65: 9 und 16stufige Farbreihen für 10 Bunttöne

Ausgabe: Farbmimetrisches Reflexions-System ORS18

für Buntton  $h^* = lab^*h = 151/360 = 0.419$

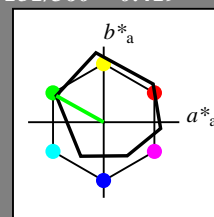
$lab^*tch$  und  $lab^*nch$

D65: Buntton L

LCH\*Ma: 51 72 151

rgb\*Ma: 0.0 1.0 0.0

Dreiecks-Helligkeit  $t^*$



ORS18; adaptierte CIELAB-Daten					
	$L^*=L_a^*$	$a_a^*$	$b_a^*$	$C_{ab,a}^*$	$h_{ab,a}^*$
OMa	47.94	65.37	50.52	82.62	38
YMa	90.37	-10.27	91.77	92.34	96
LMa	50.9	-62.79	34.95	71.87	151
CMa	58.62	-30.35	-45.01	54.3	236
VMa	25.71	31.11	-44.42	54.24	305
MMa	48.13	75.27	-8.35	75.73	354
N <sub>Ma</sub>	18.01	0.0	0.0	0.0	0
W <sub>Ma</sub>	95.41	0.0	0.0	0.0	0
RCIE	39.92	58.66	26.98	64.56	25
JCIE	81.26	-2.17	67.76	67.79	92
GCIE	52.23	-42.26	11.75	43.87	164
BCIE	30.57	1.15	-46.84	46.87	271

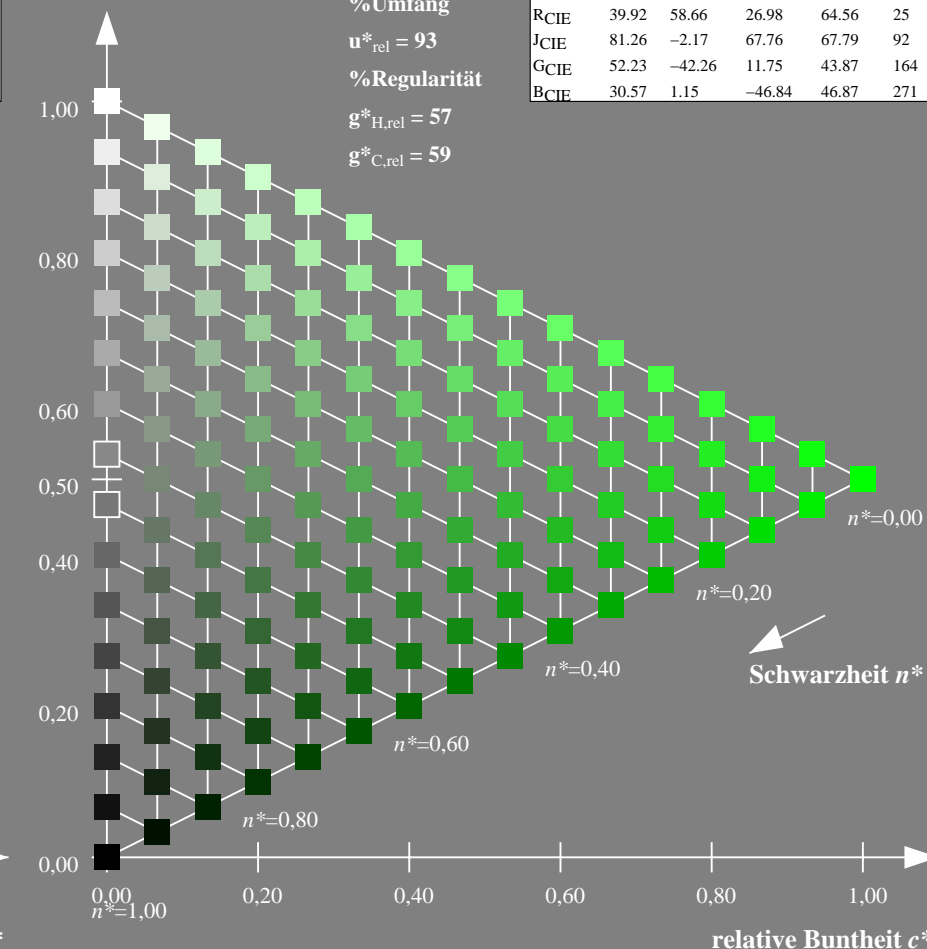
%Umfang

$u_{rel}^* = 93$

%Regularität

$g_{H,rel}^* = 57$

$g_{C,rel}^* = 59$



16stufige Reihen für konstanten CIELAB Buntton 151/360 = 0.419 (rechts)

Input:  $olv^* setrgbcolor$

output: no change compared to input

Eingabe: Farbmétrisches Reflexions-System MRS18a

für Buntton  $h^* = lab^*h = 217/360 = 0.601$

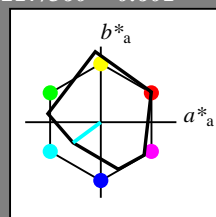
$lab^*tch$  und  $lab^*nch$

D65: Buntton G50B

LCH\*Ma: 45 46 217

rgb\*Ma: 0.0 1.0 1.0

Dreiecks-Helligkeit  $t^*$



MRS18a; adaptierte CIELAB-Daten

	$L^*=L_a^*$	$a_a^*$	$b_a^*$	$C_{ab,a}^*$	$h_{ab,a}^*$
RMa	49.63	66.8	40.02	77.87	31
JMa	90.7	-7.27	93.19	93.48	94
GMa	52.11	-69.93	11.26	70.85	171
G50B <sub>Ma</sub>	45.03	-36.65	-27.13	45.61	217
B <sub>Ma</sub>	36.65	23.26	-62.27	66.49	290
B50R <sub>Ma</sub>	34.94	57.27	-43.6	71.99	323
N <sub>Ma</sub>	18.01	0.0	0.0	0.0	0
W <sub>Ma</sub>	95.41	0.0	0.0	0.0	0
RCIE	39.92	58.67	27.97	64.99	25
JCIE	81.26	-2.91	71.56	71.62	92
GCIE	52.23	-42.47	13.58	44.6	162
BCIE	30.57	1.33	-46.48	46.51	272

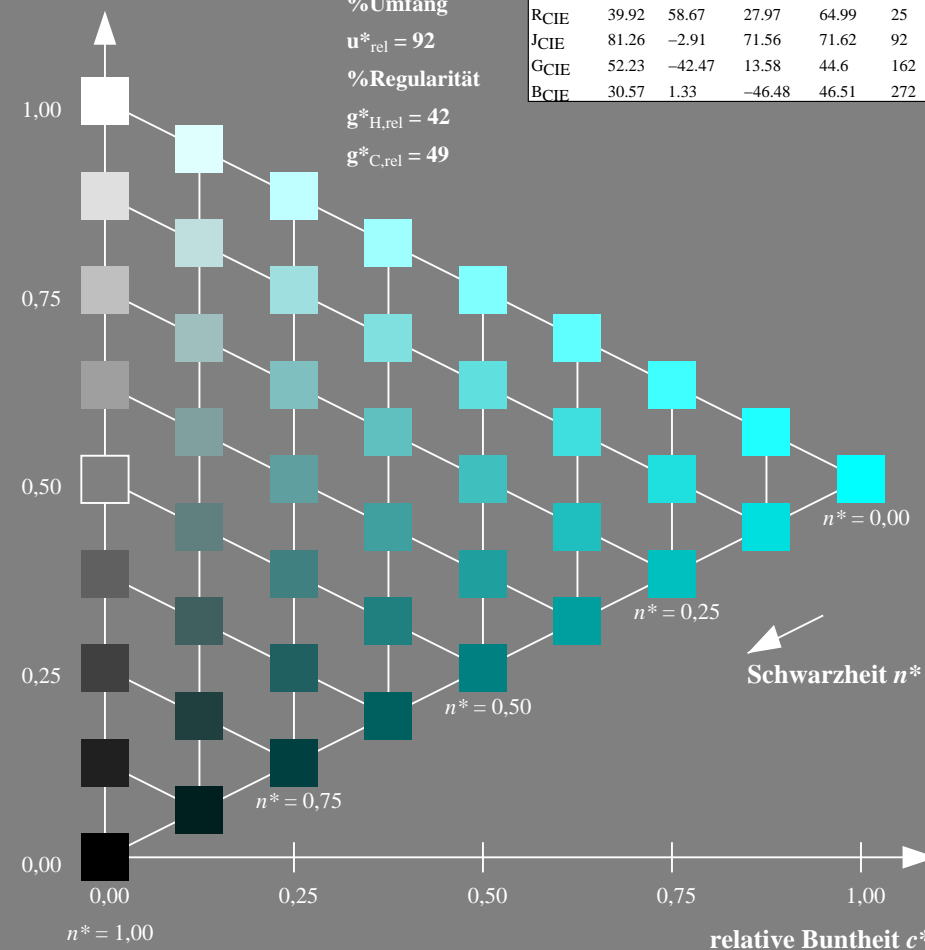
%Umfang

$u_{rel}^* = 92$

%Regularität

$g_{H,rel}^* = 42$

$g_{C,rel}^* = 49$



TG760-7, 9stufige Reihen für konstanten CIELAB Buntton 217/360 = 0.601 (links)

BAM-Prüfvorlage TG76; Farbmétrik-Systeme MRS18a & ORS18

D65: 9 und 16stufige Farbreihen für 10 Bunttöne

Ausgabe: Farbmétrisches Reflexions-System ORS18

für Buntton  $h^* = lab^*h = 236/360 = 0.656$

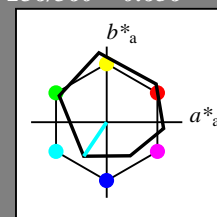
$lab^*tch$  und  $lab^*nch$

D65: Buntton C

LCH\*Ma: 59 54 236

rgb\*Ma: 0.0 1.0 1.0

Dreiecks-Helligkeit  $t^*$



ORS18; adaptierte CIELAB-Daten

	$L^*=L_a^*$	$a_a^*$	$b_a^*$	$C_{ab,a}^*$	$h_{ab,a}^*$
OMa	47.94	65.37	50.52	82.62	38
YMa	90.37	-10.27	91.77	92.34	96
LMa	50.9	-62.79	34.95	71.87	151
CMa	58.62	-30.35	-45.01	54.3	236
VMa	25.71	31.11	-44.42	54.24	305
MMa	48.13	75.27	-8.35	75.73	354
N <sub>Ma</sub>	18.01	0.0	0.0	0.0	0
W <sub>Ma</sub>	95.41	0.0	0.0	0.0	0
RCIE	39.92	58.66	26.98	64.56	25
JCIE	81.26	-2.17	67.76	67.79	92
GCIE	52.23	-42.26	11.75	43.87	164
BCIE	30.57	1.15	-46.84	46.87	271

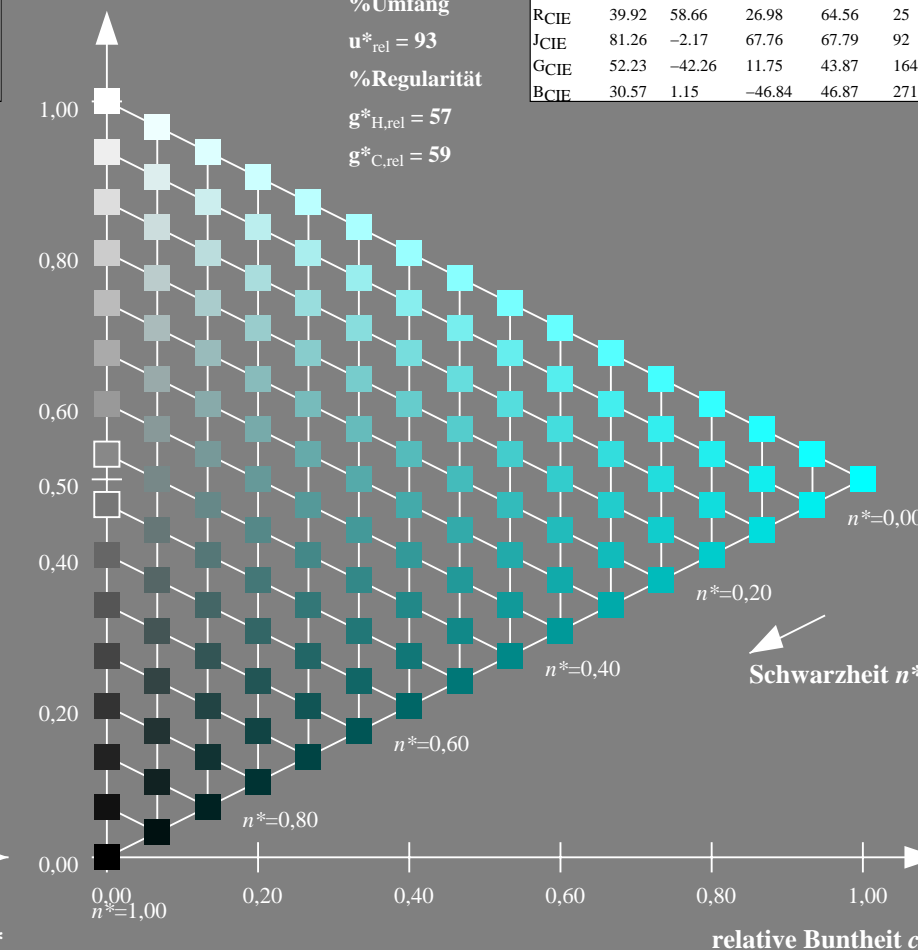
%Umfang

$u_{rel}^* = 93$

%Regularität

$g_{H,rel}^* = 57$

$g_{C,rel}^* = 59$



16stufige Reihen für konstanten CIELAB Buntton 236/360 = 0.656 (rechts)

Input:  $olv^* setrgbcolor$

output: no change compared to input

Eingabe: Farbmimetrisches Reflexions-System MRS18a

für Buntton  $h^* = lab^*h = 290/360 = 0.807$

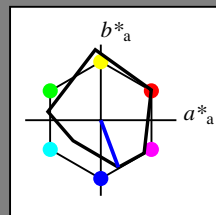
$lab^*tch$  und  $lab^*nch$

D65: Buntton B

LCH\*Ma: 37 66 290

rgb\*Ma: 0.0 0.0 1.0

Dreiecks-Helligkeit  $t^*$



MRS18a; adaptierte CIELAB-Daten

	$L^*=L_a^*$	$a_a^*$	$b_a^*$	$C_{ab,a}^*$	$h_{ab,a}^*$
RMa	49.63	66.8	40.02	77.87	31
JMa	90.7	-7.27	93.19	93.48	94
GMa	52.11	-69.93	11.26	70.85	171
G50B <sub>Ma</sub>	45.03	-36.65	-27.13	45.61	217
B <sub>Ma</sub>	36.65	23.26	-62.27	66.49	290
B50R <sub>Ma</sub>	34.94	57.27	-43.6	71.99	323
N <sub>Ma</sub>	18.01	0.0	0.0	0.0	0
W <sub>Ma</sub>	95.41	0.0	0.0	0.0	0
RCIE	39.92	58.67	27.97	64.99	25
JCIE	81.26	-2.91	71.56	71.62	92
GCIE	52.23	-42.47	13.58	44.6	162
BCIE	30.57	1.33	-46.48	46.51	272

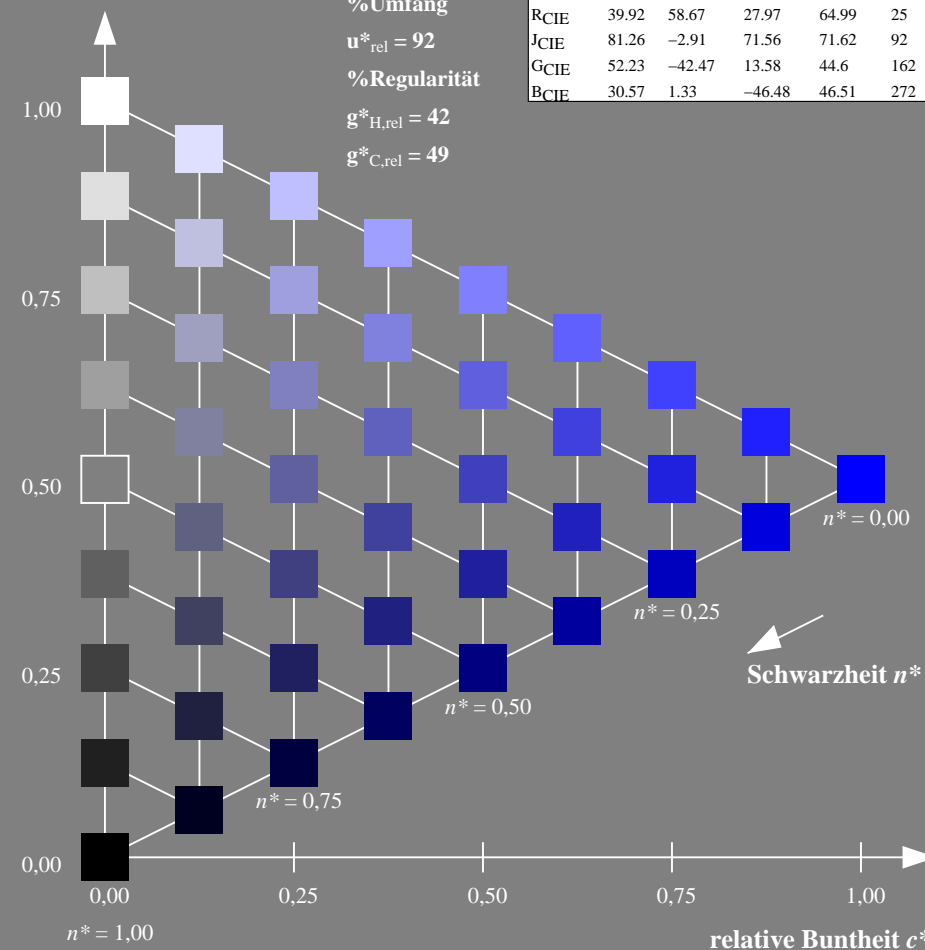
%Umfang

$u_{rel}^* = 92$

%Regularität

$g_{H,rel}^* = 42$

$g_{C,rel}^* = 49$



Schwarzheit  $n^*$

TG760-7, 9stufige Reihen für konstanten CIELAB Buntton 290/360 = 0.807 (links)

BAM-Prüfvorlage TG76; Farbmimetrische Systeme MRS18a & ORS18

D65: 9 und 16stufige Farbreihen für 10 Bunttöne

Ausgabe: Farbmimetrisches Reflexions-System ORS18

für Buntton  $h^* = lab^*h = 305/360 = 0.847$

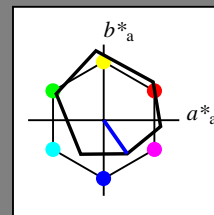
$lab^*tch$  und  $lab^*nch$

D65: Buntton V

LCH\*Ma: 26 54 305

rgb\*Ma: 0.0 0.0 1.0

Dreiecks-Helligkeit  $t^*$



ORS18; adaptierte CIELAB-Daten

	$L^*=L_a^*$	$a_a^*$	$b_a^*$	$C_{ab,a}^*$	$h_{ab,a}^*$
OMa	47.94	65.37	50.52	82.62	38
YMa	90.37	-10.27	91.77	92.34	96
LMa	50.9	-62.79	34.95	71.87	151
CMa	58.62	-30.35	-45.01	54.3	236
VMa	25.71	31.11	-44.42	54.24	305
MMa	48.13	75.27	-8.35	75.73	354
N <sub>Ma</sub>	18.01	0.0	0.0	0.0	0
W <sub>Ma</sub>	95.41	0.0	0.0	0.0	0
RCIE	39.92	58.66	26.98	64.56	25
JCIE	81.26	-2.17	67.76	67.79	92
GCIE	52.23	-42.26	11.75	43.87	164
BCIE	30.57	1.15	-46.84	46.87	271

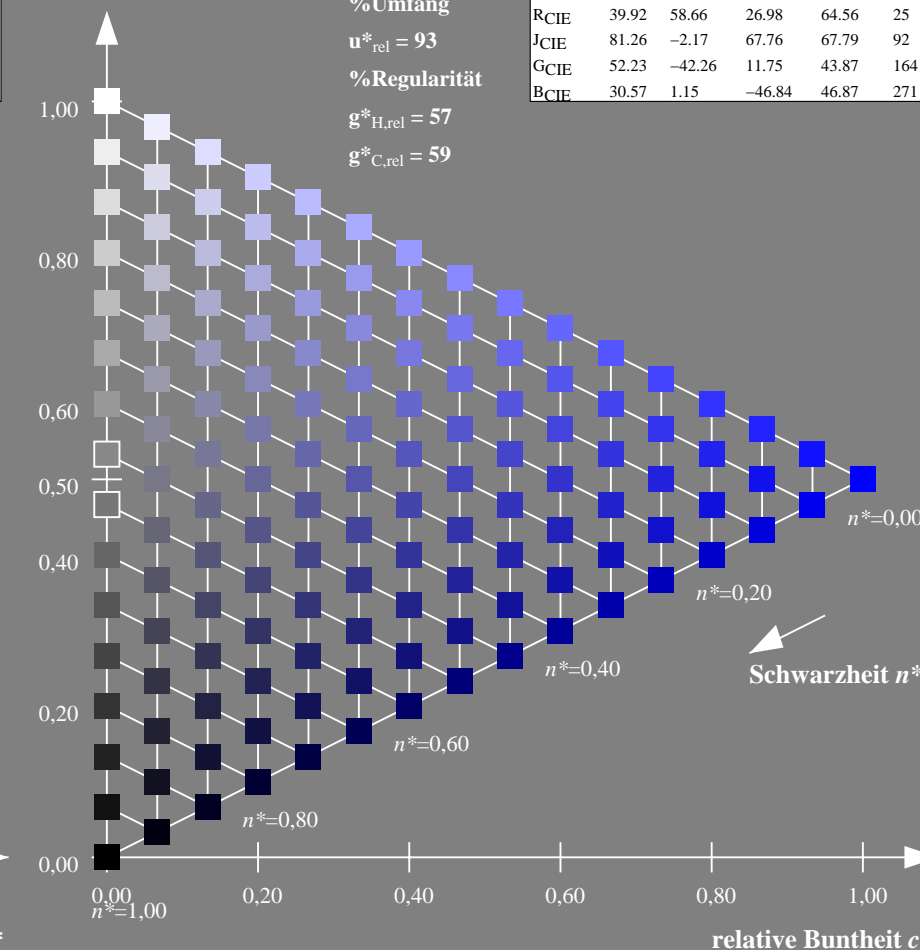
%Umfang

$u_{rel}^* = 93$

%Regularität

$g_{H,rel}^* = 57$

$g_{C,rel}^* = 59$



Schwarzheit  $n^*$

16stufige Reihen für konstanten CIELAB Buntton 305/360 = 0.847 (rechts)

Input:  $olv^* setrgbcolor$

output: no change compared to input

Eingabe: Farbmimetrisches Reflexions-System MRS18a

für Buntton  $h^* = lab^*h = 323/360 = 0.896$

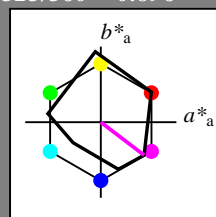
$lab^*tch$  und  $lab^*nch$

D65: Buntton B50R

LCH\*Ma: 35 72 323

rgb\*Ma: 1.0 0.0 1.0

Dreiecks-Helligkeit  $t^*$



MRS18a; adaptierte CIELAB-Daten

	$L^*=L_a^*$	$a_a^*$	$b_a^*$	$C_{ab,a}^*$	$h_{ab,a}^*$
RMa	49.63	66.8	40.02	77.87	31
JMa	90.7	-7.27	93.19	93.48	94
GMa	52.11	-69.93	11.26	70.85	171
G50B <sub>Ma</sub>	45.03	-36.65	-27.13	45.61	217
B <sub>Ma</sub>	36.65	23.26	-62.27	66.49	290
B50R <sub>Ma</sub>	34.94	57.27	-43.6	71.99	323
N <sub>Ma</sub>	18.01	0.0	0.0	0.0	0
W <sub>Ma</sub>	95.41	0.0	0.0	0.0	0
RCIE	39.92	58.67	27.97	64.99	25
JCIE	81.26	-2.91	71.56	71.62	92
GCIE	52.23	-42.47	13.58	44.6	162
BCIE	30.57	1.33	-46.48	46.51	272

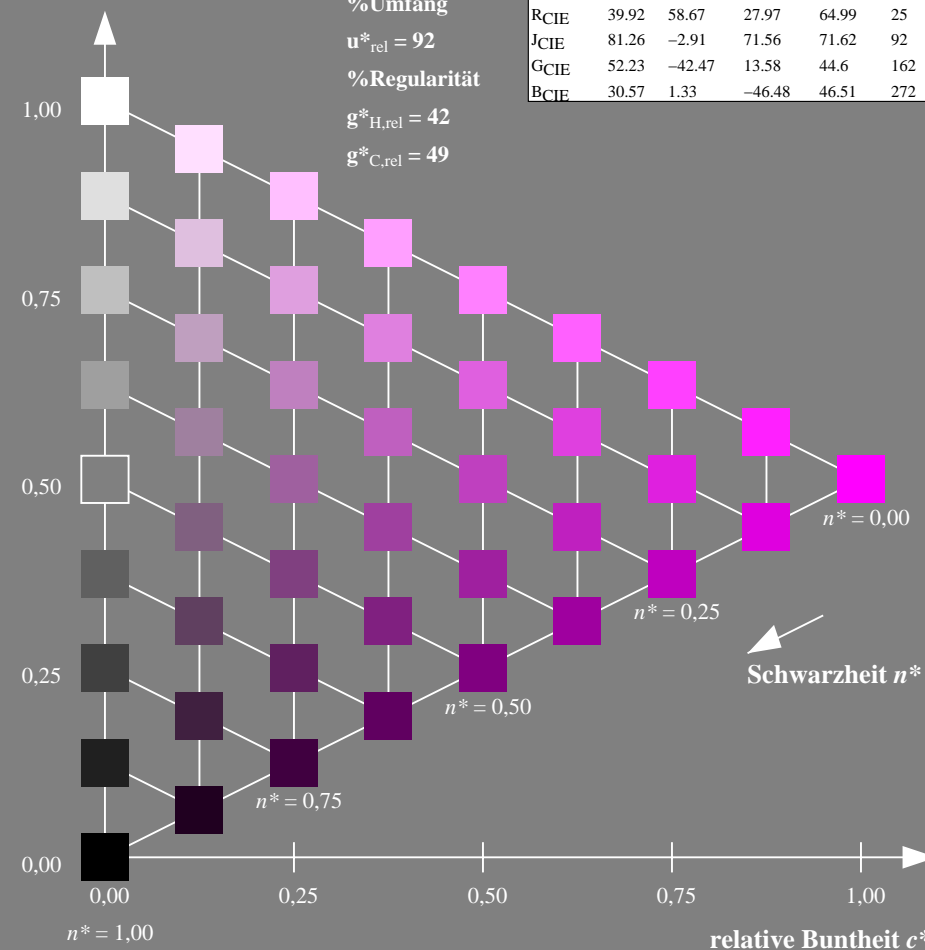
%Umfang

$u_{rel}^* = 92$

%Regularität

$g_{H,rel}^* = 42$

$g_{C,rel}^* = 49$



TG760-7, 9stufige Reihen für konstanten CIELAB Buntton 323/360 = 0.896 (links)

BAM-Prüfvorlage TG76; Farbmimetrische Systeme MRS18a & ORS18

D65: 9 und 16stufige Farbreihen für 10 Bunttöne

Ausgabe: Farbmimetrisches Reflexions-System ORS18

für Buntton  $h^* = lab^*h = 354/360 = 0.982$

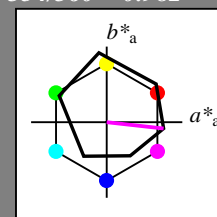
$lab^*tch$  und  $lab^*nch$

D65: Buntton M

LCH\*Ma: 48 76 354

rgb\*Ma: 1.0 0.0 1.0

Dreiecks-Helligkeit  $t^*$



ORS18; adaptierte CIELAB-Daten

	$L^*=L_a^*$	$a_a^*$	$b_a^*$	$C_{ab,a}^*$	$h_{ab,a}^*$
OMa	47.94	65.37	50.52	82.62	38
YMa	90.37	-10.27	91.77	92.34	96
LMa	50.9	-62.79	34.95	71.87	151
CMa	58.62	-30.35	-45.01	54.3	236
VMa	25.71	31.11	-44.42	54.24	305
MMa	48.13	75.27	-8.35	75.73	354
N <sub>Ma</sub>	18.01	0.0	0.0	0.0	0
W <sub>Ma</sub>	95.41	0.0	0.0	0.0	0
RCIE	39.92	58.66	26.98	64.56	25
JCIE	81.26	-2.17	67.76	67.79	92
GCIE	52.23	-42.26	11.75	43.87	164
BCIE	30.57	1.15	-46.84	46.87	271

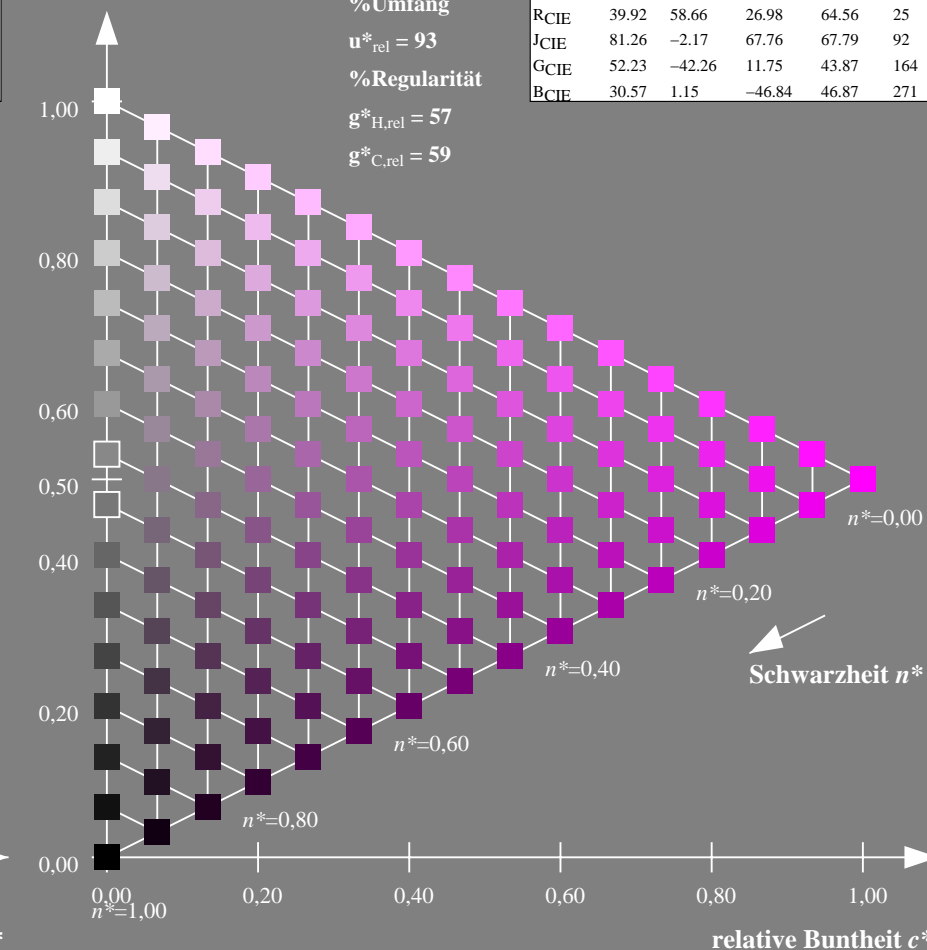
%Umfang

$u_{rel}^* = 93$

%Regularität

$g_{H,rel}^* = 57$

$g_{C,rel}^* = 59$



16stufige Reihen für konstanten CIELAB Buntton 354/360 = 0.982 (rechts)

Input:  $olv^* setrgbcolor$

output: no change compared to input

Eingabe: Farbmimetrisches Reflexions-System MRS18a

für Buntton  $h^* = lab^*h = 25/360 = 0.071$

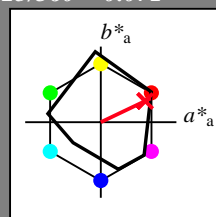
$lab^*tch$  und  $lab^*nch$

D65: Buntton R

LCH\*Ma: 48 73 25

rgb\*Ma: 1.0 0.0 0.1

Dreiecks-Helligkeit  $t^*$



MRS18a; adaptierte CIELAB-Daten

	$L^*=L_a^*$	$a_a^*$	$b_a^*$	$C_{ab,a}^*$	$h_{ab,a}^*$
RMa	49.63	66.8	40.02	77.87	31
JMa	90.7	-7.27	93.19	93.48	94
GMa	52.11	-69.93	11.26	70.85	171
G50B <sub>Ma</sub>	45.03	-36.65	-27.13	45.61	217
B <sub>Ma</sub>	36.65	23.26	-62.27	66.49	290
B50R <sub>Ma</sub>	34.94	57.27	-43.6	71.99	323
N <sub>Ma</sub>	18.01	0.0	0.0	0.0	0
W <sub>Ma</sub>	95.41	0.0	0.0	0.0	0
RCIE	39.92	58.67	27.97	64.99	25
JCIE	81.26	-2.91	71.56	71.62	92
GCIE	52.23	-42.47	13.58	44.6	162
BCIE	30.57	1.33	-46.48	46.51	272

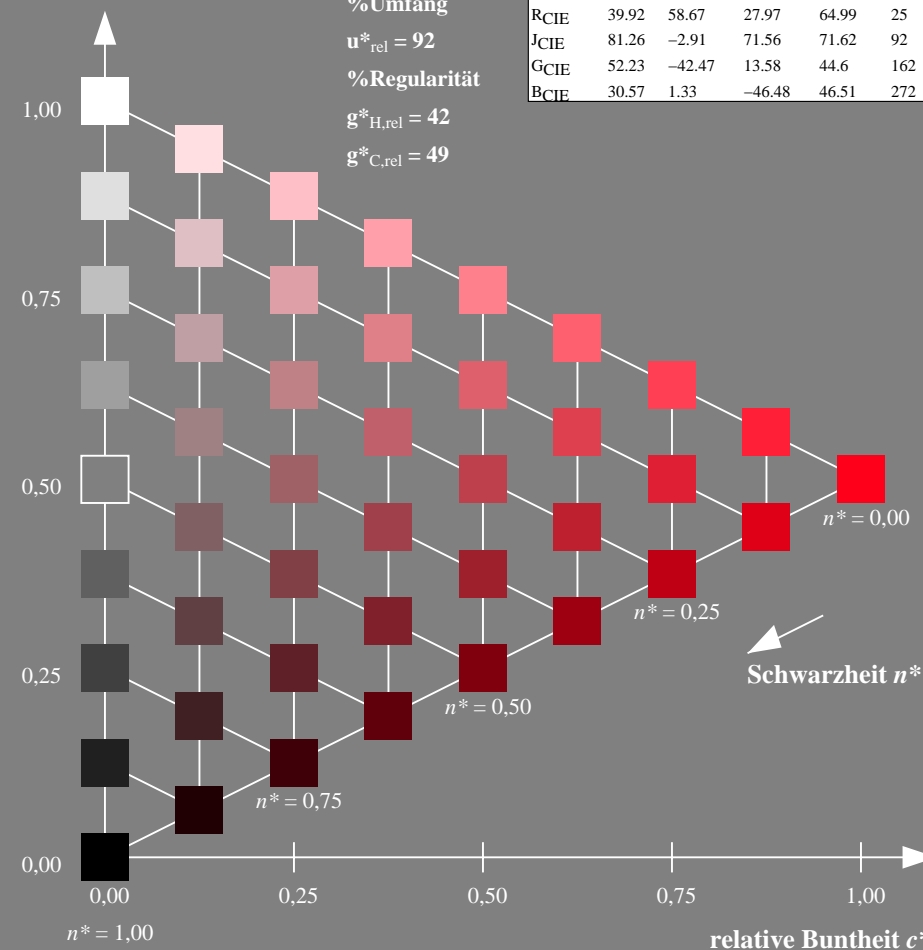
%Umfang

$u_{rel}^* = 92$

%Regularität

$g_{H,rel}^* = 42$

$g_{C,rel}^* = 49$



TG760-7, 9stufige Reihen für konstanten CIELAB Buntton 25/360 = 0.071 (links)

BAM-Prüfvorlage TG76; Farbmimetrische Systeme MRS18a & ORS18

D65: 9 und 16stufige Farbreihen für 10 Bunttöne

Ausgabe: Farbmimetrisches Reflexions-System ORS18

für Buntton  $h^* = lab^*h = 25/360 = 0.069$

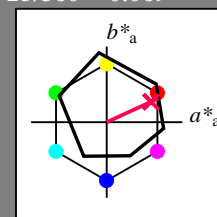
$lab^*tch$  und  $lab^*nch$

D65: Buntton R

LCH\*Ma: 48 75 25

rgb\*Ma: 1.0 0.0 0.32

Dreiecks-Helligkeit  $t^*$



ORS18; adaptierte CIELAB-Daten

	$L^*=L_a^*$	$a_a^*$	$b_a^*$	$C_{ab,a}^*$	$h_{ab,a}^*$
OMa	47.94	65.37	50.52	82.62	38
YMa	90.37	-10.27	91.77	92.34	96
LMa	50.9	-62.79	34.95	71.87	151
CMa	58.62	-30.35	-45.01	54.3	236
VMa	25.71	31.11	-44.42	54.24	305
MMa	48.13	75.27	-8.35	75.73	354
N <sub>Ma</sub>	18.01	0.0	0.0	0.0	0
W <sub>Ma</sub>	95.41	0.0	0.0	0.0	0
RCIE	39.92	58.66	26.98	64.56	25
JCIE	81.26	-2.17	67.76	67.79	92
GCIE	52.23	-42.26	11.75	43.87	164
BCIE	30.57	1.15	-46.84	46.87	271

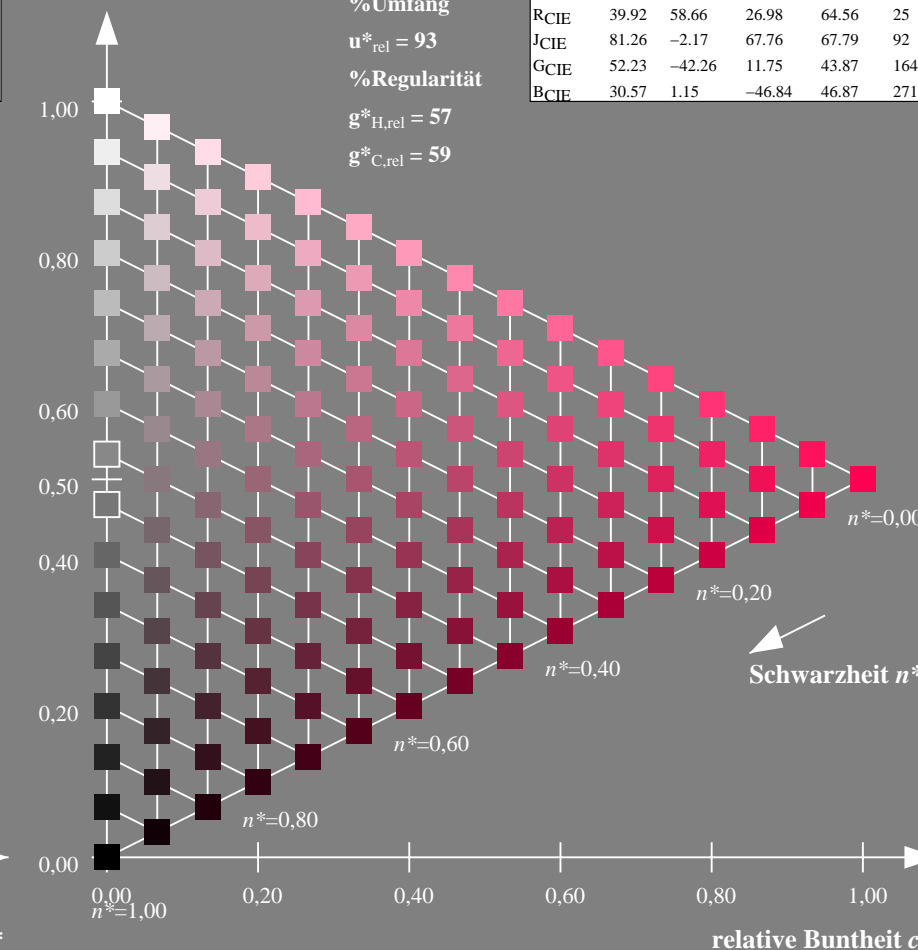
%Umfang

$u_{rel}^* = 93$

%Regularität

$g_{H,rel}^* = 57$

$g_{C,rel}^* = 59$



16stufige Reihen für konstanten CIELAB Buntton 25/360 = 0.069 (rechts)

Input:  $olv^* setrgbcolor$

output: no change compared to input



### Eingabe: Farbmetrisches Reflexions-System MRS18a

für Buntton  $h^* = lab^*h = 92/360 = 0.256$

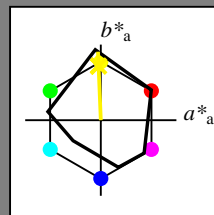
$lab^*tch$  und  $lab^*nch$

D65: Buntton J

LCH\*Ma: 89 91 92

rgb\*Ma: 1.0 0.95 0.0

Dreiecks-Helligkeit  $t^*$



#### MRS18a; adaptierte CIELAB-Daten

	$L^*=L_a^*$	$a_a^*$	$b_a^*$	$C_{ab,a}^*$	$h_{ab,a}^*$
RMa	49.63	66.8	40.02	77.87	31
JMa	90.7	-7.27	93.19	93.48	94
GMa	52.11	-69.93	11.26	70.85	171
G50B <sub>Ma</sub>	45.03	-36.65	-27.13	45.61	217
B <sub>Ma</sub>	36.65	23.26	-62.27	66.49	290
B50R <sub>Ma</sub>	34.94	57.27	-43.6	71.99	323
N <sub>Ma</sub>	18.01	0.0	0.0	0.0	0
W <sub>Ma</sub>	95.41	0.0	0.0	0.0	0
RCIE	39.92	58.67	27.97	64.99	25
JCIE	81.26	-2.91	71.56	71.62	92
GCIE	52.23	-42.47	13.58	44.6	162
BCIE	30.57	1.33	-46.48	46.51	272

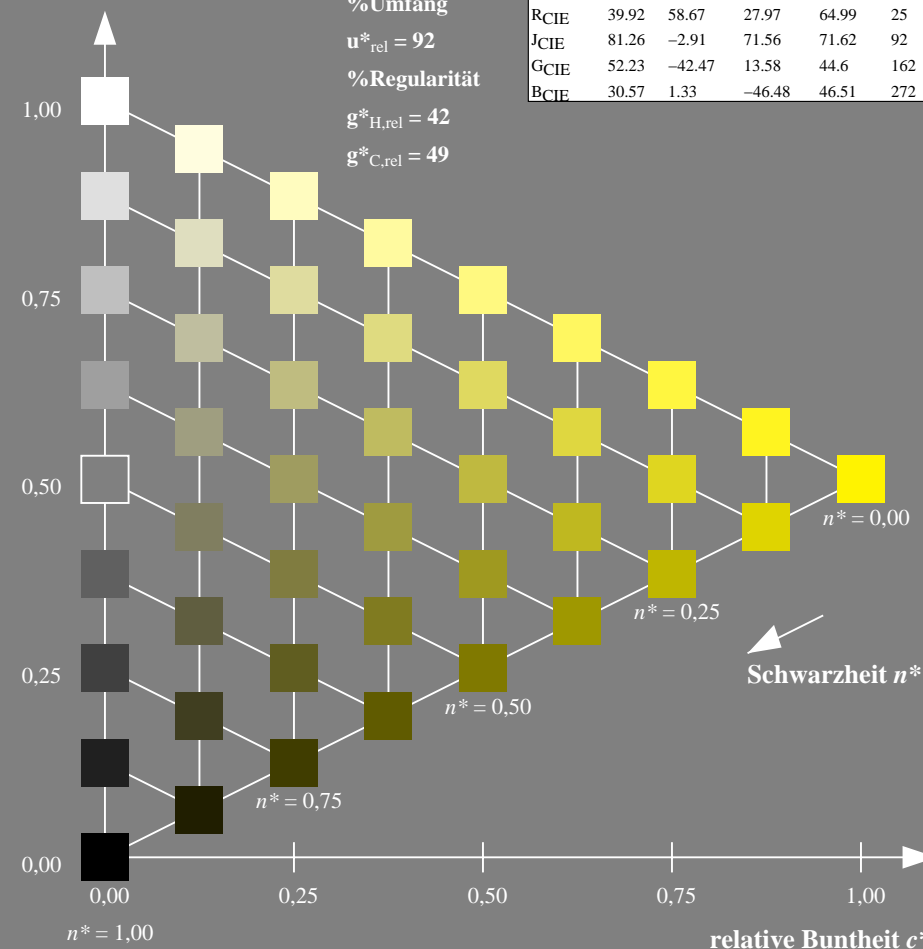
%Umfang

$u_{rel}^* = 92$

%Regularität

$g_{H,rel}^* = 42$

$g_{C,rel}^* = 49$



TG760-7, 9stufige Reihen für konstanten CIELAB Buntton  $92/360 = 0.256$  (links)

BAM-Prüfvorlage TG76; Farbmetrik-Systeme MRS18a & ORS18

D65: 9 und 16stufige Farbreihen für 10 Bunttöne

### Ausgabe: Farbmetrisches Reflexions-System ORS18

für Buntton  $h^* = lab^*h = 92/360 = 0.255$

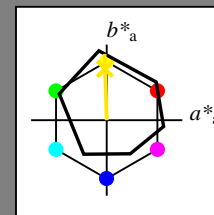
$lab^*tch$  und  $lab^*nch$

D65: Buntton J

LCH\*Ma: 86 88 92

rgb\*Ma: 1.0 0.9 0.0

Dreiecks-Helligkeit  $t^*$



#### ORS18; adaptierte CIELAB-Daten

	$L^*=L_a^*$	$a_a^*$	$b_a^*$	$C_{ab,a}^*$	$h_{ab,a}^*$
OMa	47.94	65.37	50.52	82.62	38
YMa	90.37	-10.27	91.77	92.34	96
LMa	50.9	-62.79	34.95	71.87	151
CMa	58.62	-30.35	-45.01	54.3	236
VMa	25.71	31.11	-44.42	54.24	305
MMa	48.13	75.27	-8.35	75.73	354
N <sub>Ma</sub>	18.01	0.0	0.0	0.0	0
W <sub>Ma</sub>	95.41	0.0	0.0	0.0	0
RCIE	39.92	58.66	26.98	64.56	25
JCIE	81.26	-2.17	67.76	67.79	92
GCIE	52.23	-42.26	11.75	43.87	164
BCIE	30.57	1.15	-46.84	46.87	271

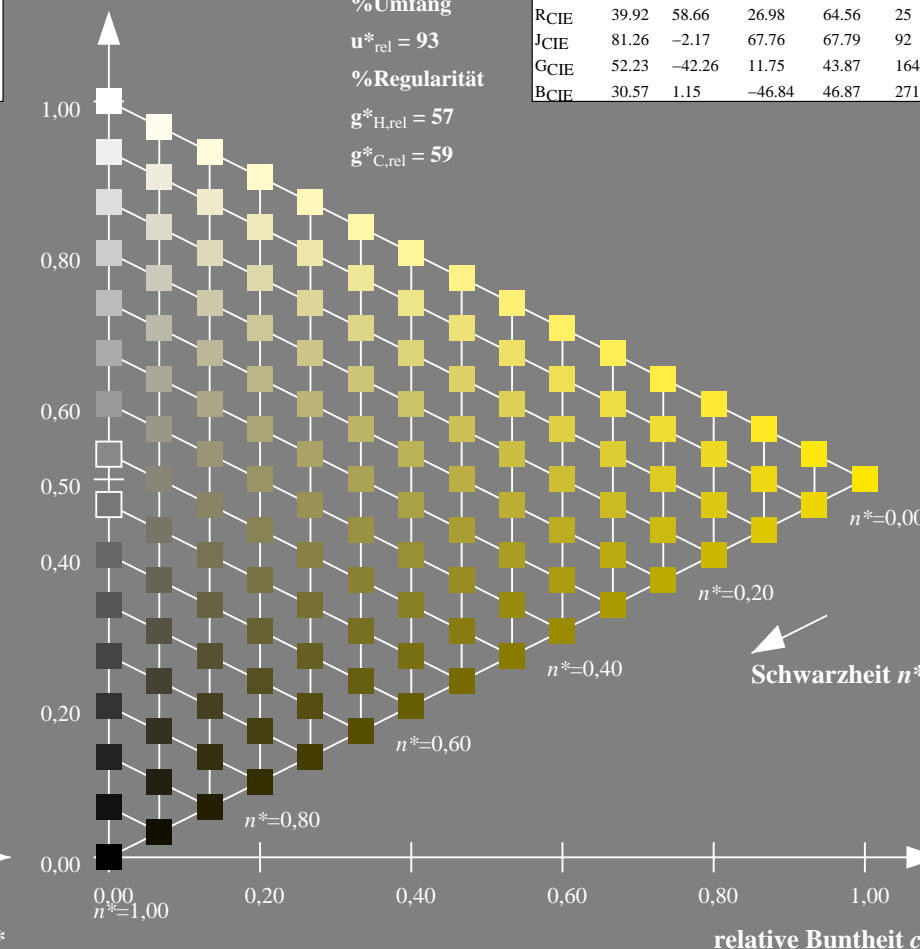
%Umfang

$u_{rel}^* = 93$

%Regularität

$g_{H,rel}^* = 57$

$g_{C,rel}^* = 59$



16stufige Reihen für konstanten CIELAB Buntton  $92/360 = 0.255$  (rechts)

Input:  $olv^* setrgbcolor$

output: no change compared to input



Eingabe: Farbmétrisches Reflexions-System MRS18a

für Buntton  $h^* = lab^*h = 162/360 = 0.451$

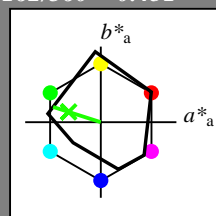
$lab^*tch$  und  $lab^*nch$

D65: Buntton G

LCH\*Ma: 56 66 162

rgb\*Ma: 0.11 1.0 0.0

Dreiecks-Helligkeit  $t^*$



MRS18a; adaptierte CIELAB-Daten					
	$L^*=L_a^*$	$a_a^*$	$b_a^*$	$C_{ab,a}^*$	$h_{ab,a}^*$
RMa	49.63	66.8	40.02	77.87	31
JMa	90.7	-7.27	93.19	93.48	94
GMa	52.11	-69.93	11.26	70.85	171
G50B <sub>Ma</sub>	45.03	-36.65	-27.13	45.61	217
B <sub>Ma</sub>	36.65	23.26	-62.27	66.49	290
B50R <sub>Ma</sub>	34.94	57.27	-43.6	71.99	323
N <sub>Ma</sub>	18.01	0.0	0.0	0.0	0
W <sub>Ma</sub>	95.41	0.0	0.0	0.0	0
RCIE	39.92	58.67	27.97	64.99	25
JCIE	81.26	-2.91	71.56	71.62	92
GCIE	52.23	-42.47	13.58	44.6	162
BCIE	30.57	1.33	-46.48	46.51	272

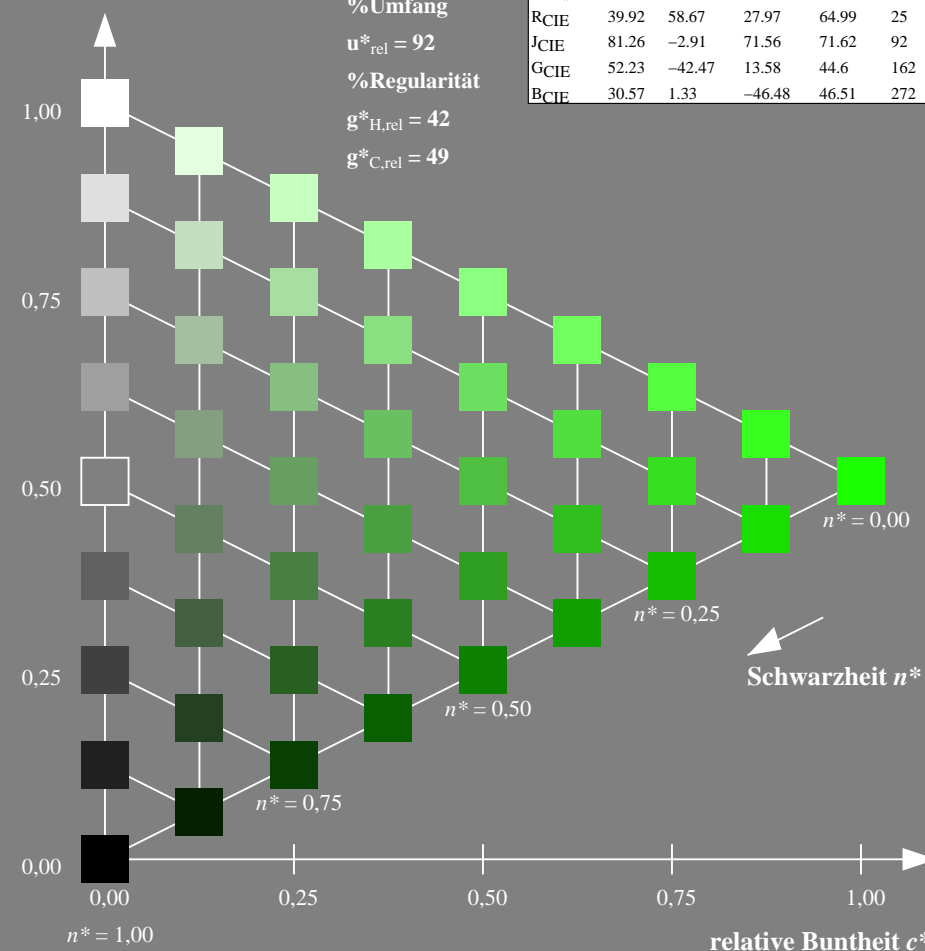
%Umfang

$u_{rel}^* = 92$

%Regularität

$g_{H,rel}^* = 42$

$g_{C,rel}^* = 49$



Schwarzheit  $n^*$

TG760-7, 9stufige Reihen für konstanten CIELAB Buntton 162/360 = 0.451 (links)

BAM-Prüfvorlage TG76; Farbmétrik-Systeme MRS18a & ORS18

D65: 9 und 16stufige Farbreihen für 10 Bunttöne

Ausgabe: Farbmétrisches Reflexions-System ORS18

für Buntton  $h^* = lab^*h = 164/360 = 0.457$

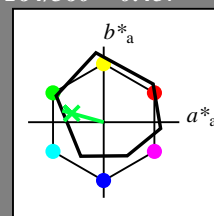
$lab^*tch$  und  $lab^*nch$

D65: Buntton G

LCH\*Ma: 53 57 164

rgb\*Ma: 0.0 1.0 0.25

Dreiecks-Helligkeit  $t^*$



ORS18; adaptierte CIELAB-Daten					
	$L^*=L_a^*$	$a_a^*$	$b_a^*$	$C_{ab,a}^*$	$h_{ab,a}^*$
OMa	47.94	65.37	50.52	82.62	38
YMa	90.37	-10.27	91.77	92.34	96
LMa	50.9	-62.79	34.95	71.87	151
CMa	58.62	-30.35	-45.01	54.3	236
VMa	25.71	31.11	-44.42	54.24	305
MMa	48.13	75.27	-8.35	75.73	354
N <sub>Ma</sub>	18.01	0.0	0.0	0.0	0
W <sub>Ma</sub>	95.41	0.0	0.0	0.0	0
RCIE	39.92	58.66	26.98	64.56	25
JCIE	81.26	-2.17	67.76	67.79	92
GCIE	52.23	-42.26	11.75	43.87	164
BCIE	30.57	1.15	-46.84	46.87	271

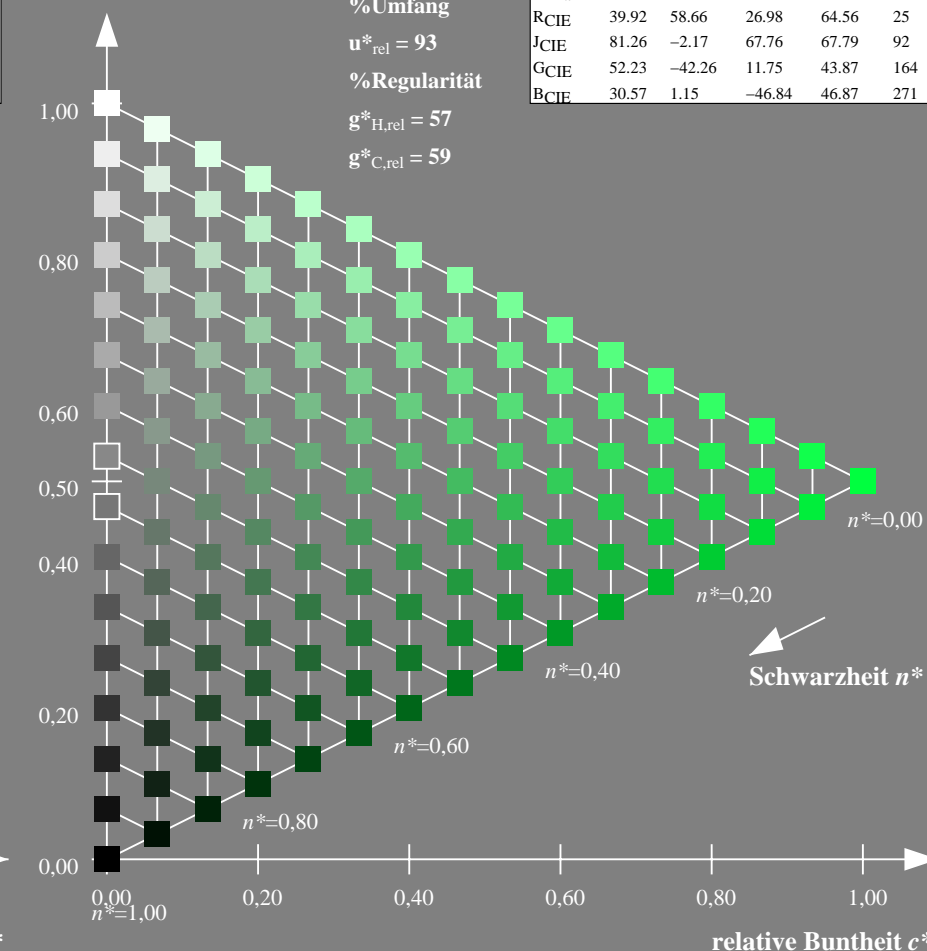
%Umfang

$u_{rel}^* = 93$

%Regularität

$g_{H,rel}^* = 57$

$g_{C,rel}^* = 59$



Schwarzheit  $n^*$

16stufige Reihen für konstanten CIELAB Buntton 164/360 = 0.457 (rechts)

input:  $olv^* setrgbcolor$

output: no change compared to input

Eingabe: Farbmimetrisches Reflexions-System MRS18a

für Buntton  $h^* = lab^*h = 272/360 = 0.755$

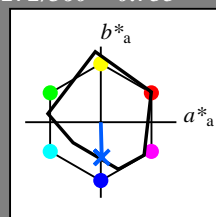
$lab^*tch$  und  $lab^*nch$

D65: Buntton B

LCH\*Ma: 40 49 272

rgb\*Ma: 0.0 0.36 1.0

Dreiecks-Helligkeit  $t^*$



MRS18a; adaptierte CIELAB-Daten

	$L^*=L_a^*$	$a_a^*$	$b_a^*$	$C_{ab,a}^*$	$h_{ab,a}^*$
RMa	49.63	66.8	40.02	77.87	31
JMa	90.7	-7.27	93.19	93.48	94
GMa	52.11	-69.93	11.26	70.85	171
G50BMa	45.03	-36.65	-27.13	45.61	217
BMa	36.65	23.26	-62.27	66.49	290
B50RMa	34.94	57.27	-43.6	71.99	323
NMa	18.01	0.0	0.0	0.0	0
WMa	95.41	0.0	0.0	0.0	0
RCIE	39.92	58.67	27.97	64.99	25
JCIE	81.26	-2.91	71.56	71.62	92
GCIE	52.23	-42.47	13.58	44.6	162
BCIE	30.57	1.33	-46.48	46.51	272

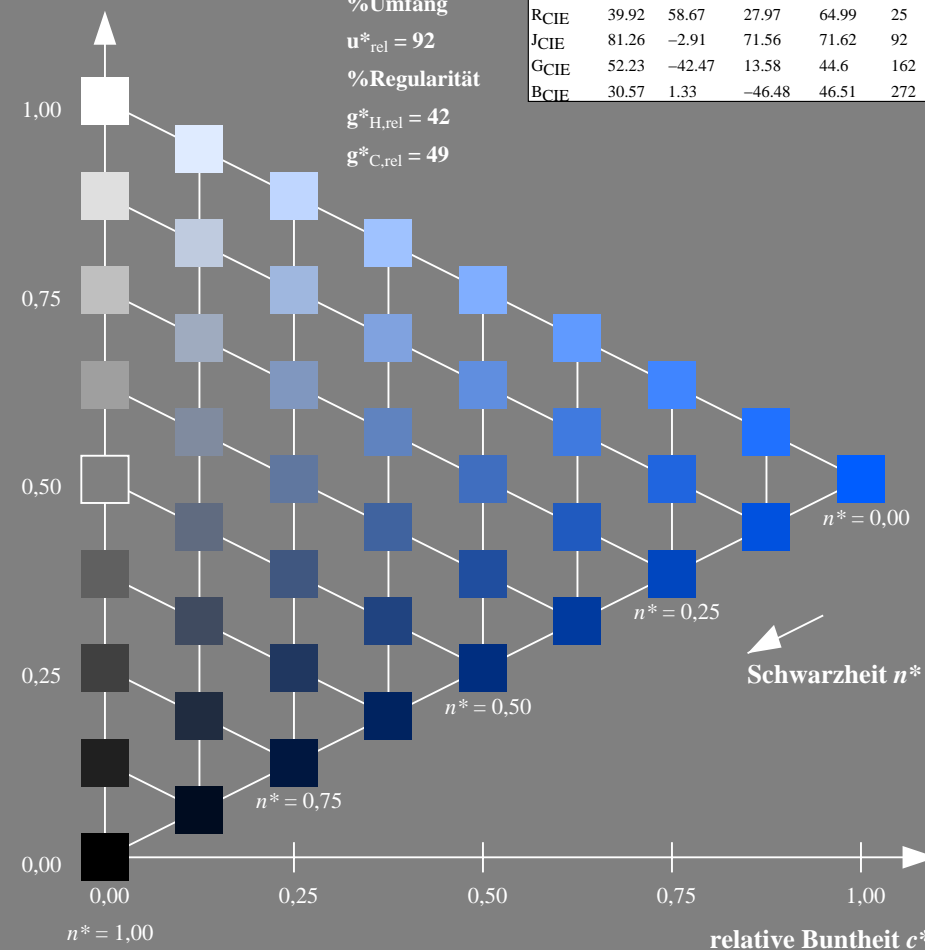
%Umfang

$u_{rel}^* = 92$

%Regularität

$g_{H,rel}^* = 42$

$g_{C,rel}^* = 49$



Schwarzheit  $n^*$

TG760-7, 9stufige Reihen für konstanten CIELAB Buntton  $272/360 = 0.755$  (links)

BAM-Prüfvorlage TG76; Farbmimetrische Systeme MRS18a & ORS18

D65: 9 und 16stufige Farbreihen für 10 Bunttöne

Ausgabe: Farbmimetrisches Reflexions-System ORS18

für Buntton  $h^* = lab^*h = 271/360 = 0.754$

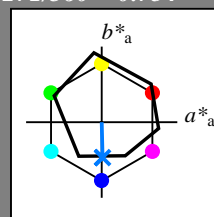
$lab^*tch$  und  $lab^*nch$

D65: Buntton B

LCH\*Ma: 42 45 271

rgb\*Ma: 0.0 0.49 1.0

Dreiecks-Helligkeit  $t^*$



ORS18; adaptierte CIELAB-Daten

	$L^*=L_a^*$	$a_a^*$	$b_a^*$	$C_{ab,a}^*$	$h_{ab,a}^*$
OMa	47.94	65.37	50.52	82.62	38
YMa	90.37	-10.27	91.77	92.34	96
LMa	50.9	-62.79	34.95	71.87	151
CMa	58.62	-30.35	-45.01	54.3	236
VMa	25.71	31.11	-44.42	54.24	305
MMa	48.13	75.27	-8.35	75.73	354
NMa	18.01	0.0	0.0	0.0	0
WMa	95.41	0.0	0.0	0.0	0
RCIE	39.92	58.66	26.98	64.56	25
JCIE	81.26	-2.17	67.76	67.79	92
GCIE	52.23	-42.26	11.75	43.87	164
BCIE	30.57	1.15	-46.84	46.87	271

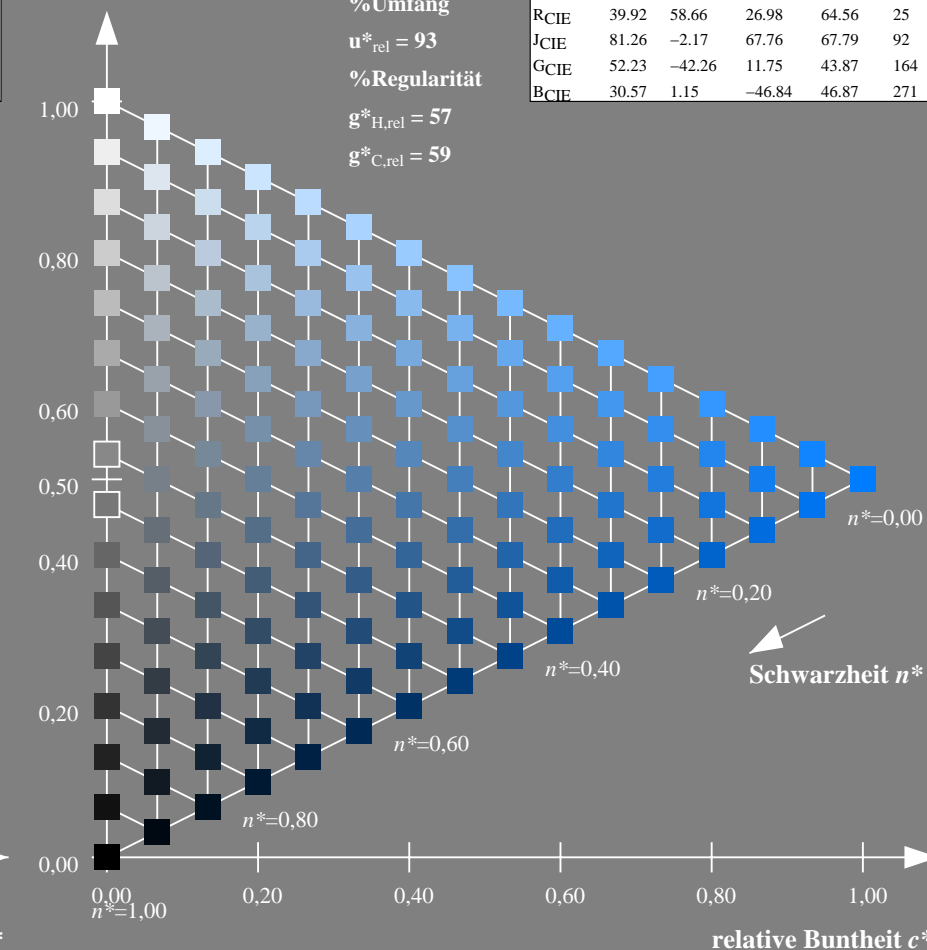
%Umfang

$u_{rel}^* = 93$

%Regularität

$g_{H,rel}^* = 57$

$g_{C,rel}^* = 59$



Schwarzheit  $n^*$

16stufige Reihen für konstanten CIELAB Buntton  $271/360 = 0.754$  (rechts)

input:  $olv^* setrgbcolor$

output: no change compared to input